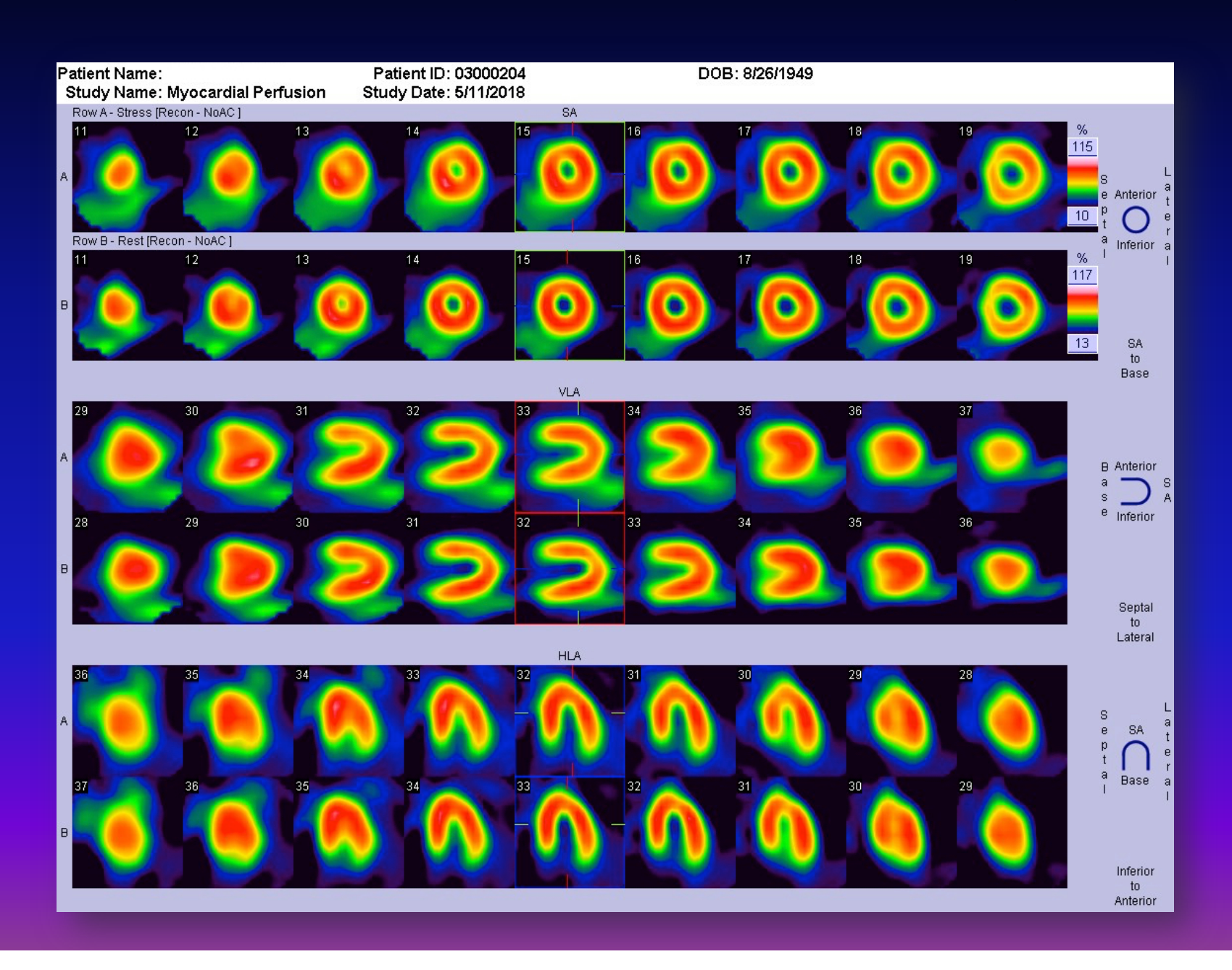
Diagnosi di coronaropatia: dati metanalitici

	Sensibilità	Specificità
ECG da sforzo*	0.68	0.77
scintigrafia miocardica**	0.91	0.89

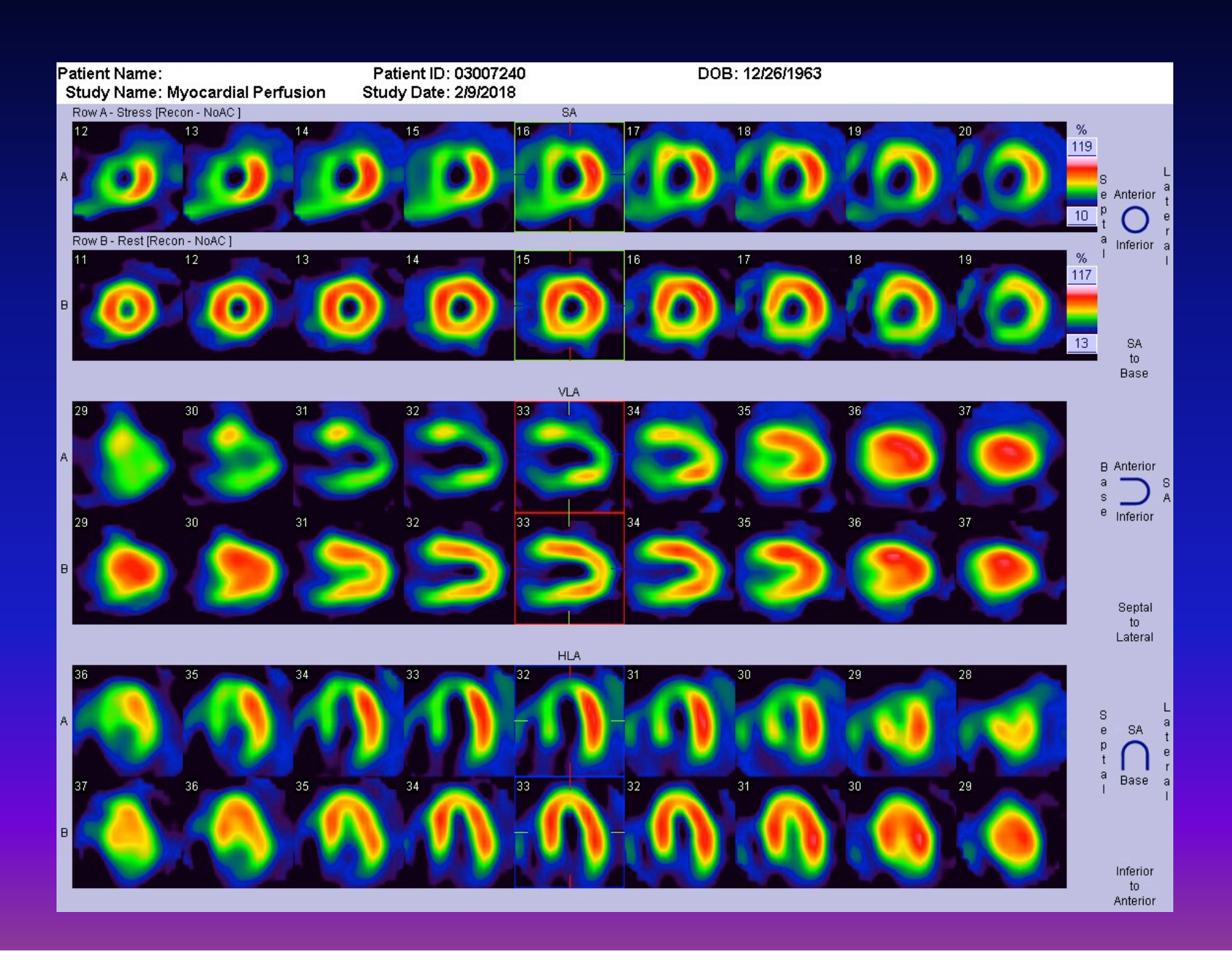
^{*} Gianrossi R, et al. Circulation 1989;80:87-98 147 studi, 24074 pazienti

^{**} Maddhai J. Cardiac imaging, edition 2. WB Sauders 1996: 971-94 9 studi, 2396 pazienti (SPECT qualitativa e quantitativa)

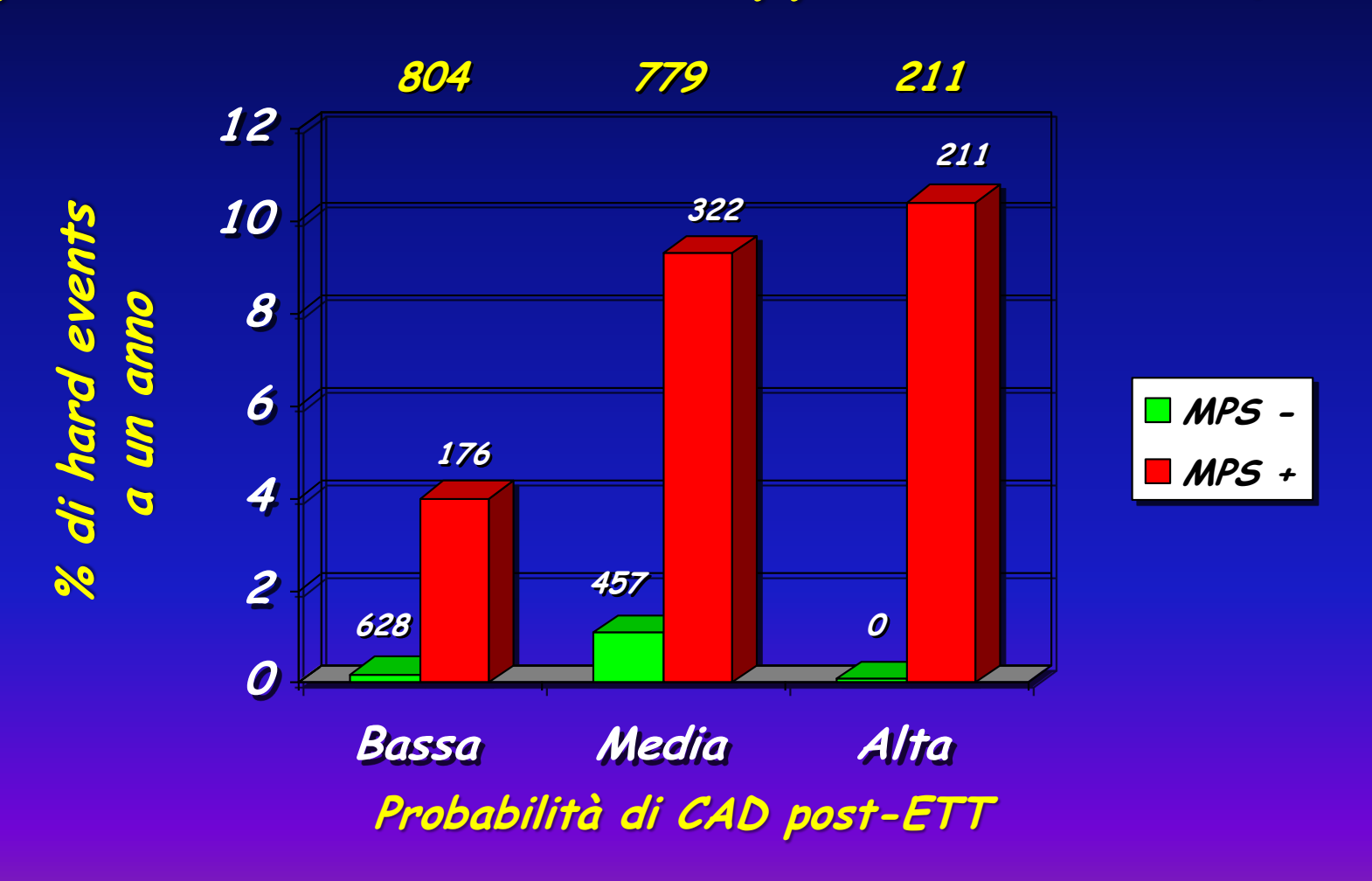
SPECT miocardica con 99m Tc-tetrofosmin



SPECT miocardica con 99m Tc-tetrofosmin



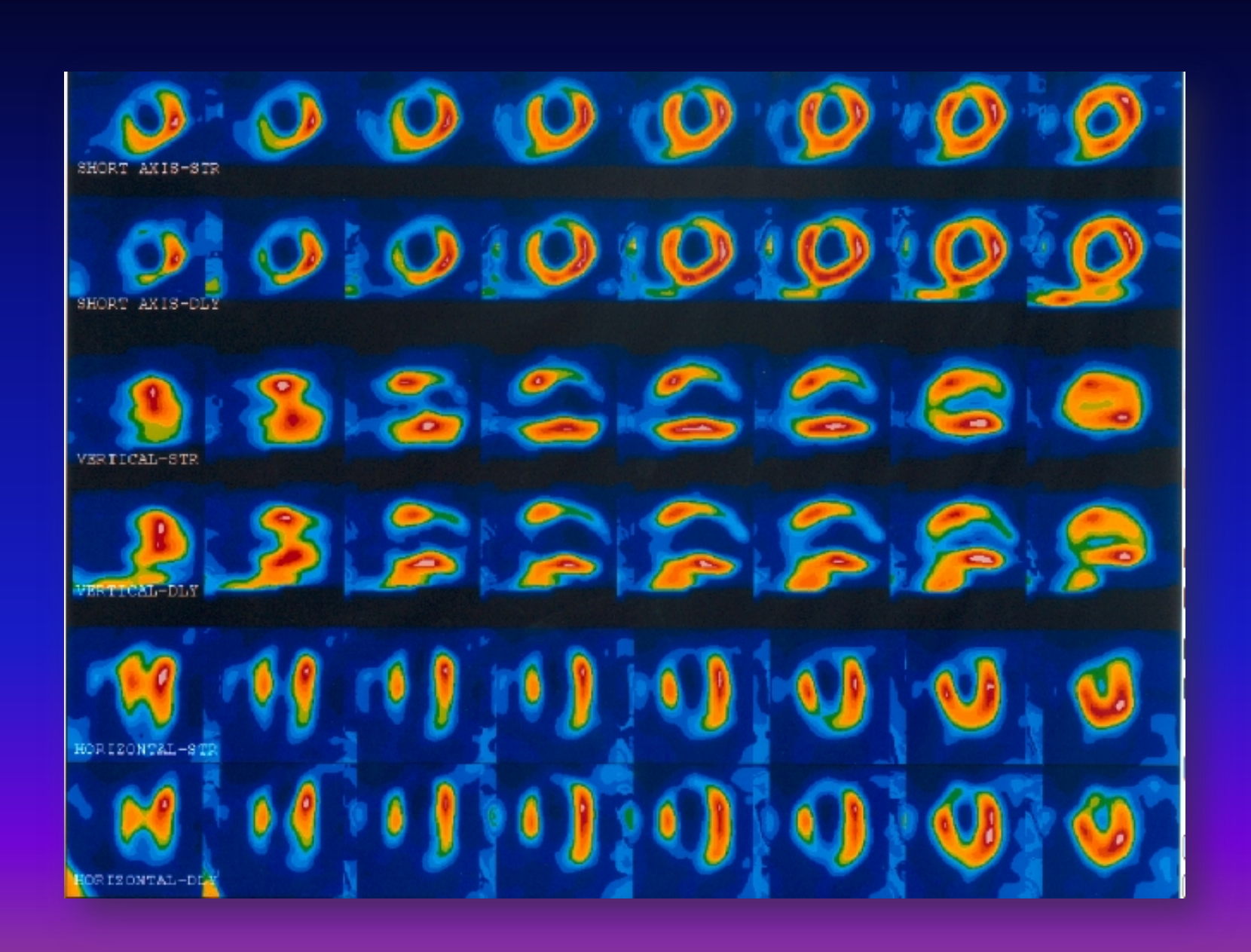
Frequenza di "hard events" sulla base della MPS con 99m Tc-sestamibi in pazienti stratificati con prova da sforzo con tappeto rotante (ETT)



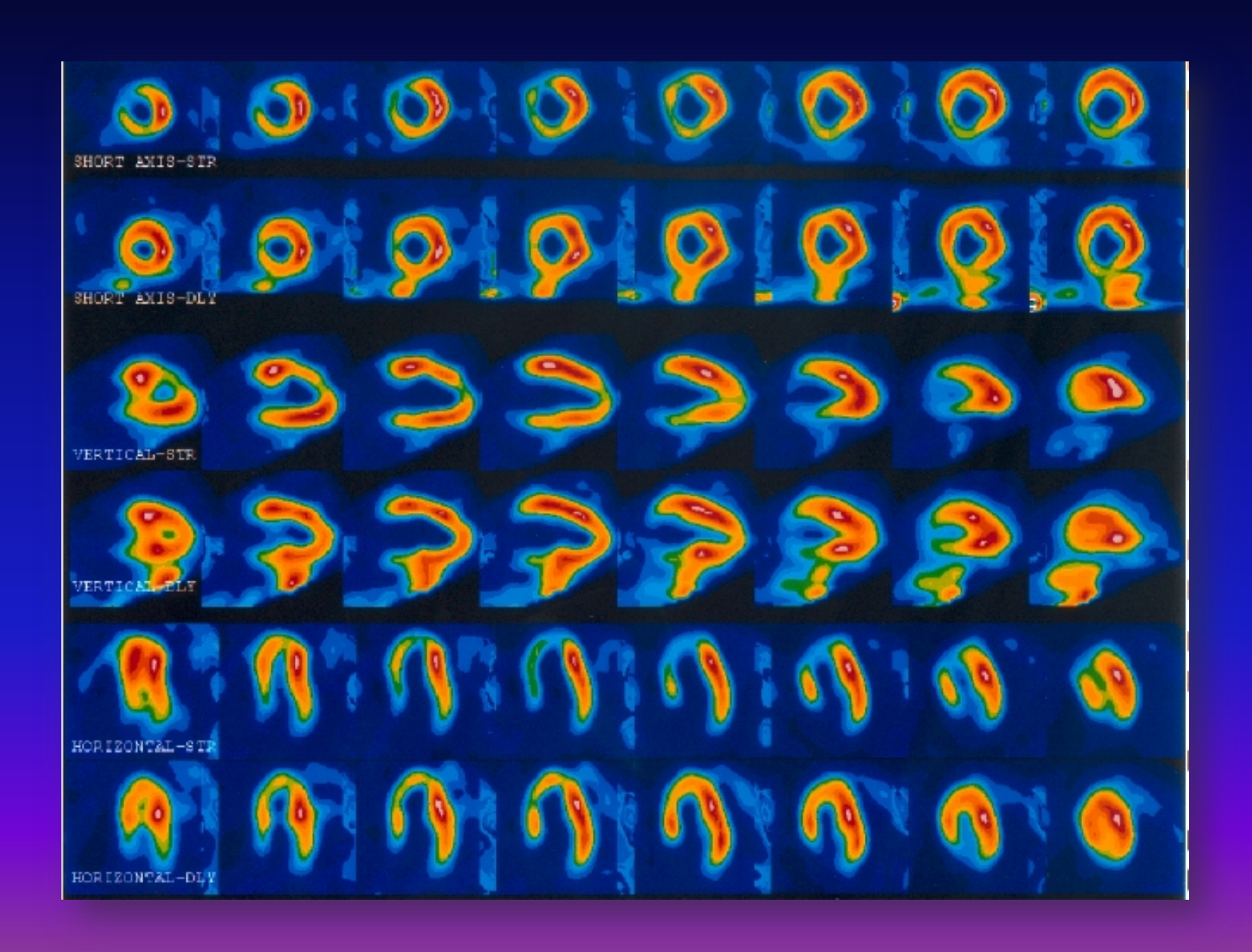
Berman et al.; JACC 1995;26:639-647

- A) Diagnosi di malattia coronarica in pazienti selezionati:
 - probabilità pre-test intermedia;
 - pazienti a rischio "relativo";
 - DD dolore toracico in PS.
- B) Contributo alla stratificazione prognostica in pazienti con pregresso infarto (ricerca di ischemia residua).
- C) Valutazione pre e post rivascolarizzazione
 - -a) PTCA (angioplastica coronarica);
 - -b) CABG (by-pass coronarici);
 - -c) trombolisi.
- D) Valutazione (integrata con la coronarografia) di pazienti con malattia coronarica già accertata.
- E) Valutazione di efficacia della terapia coronaroattiva.

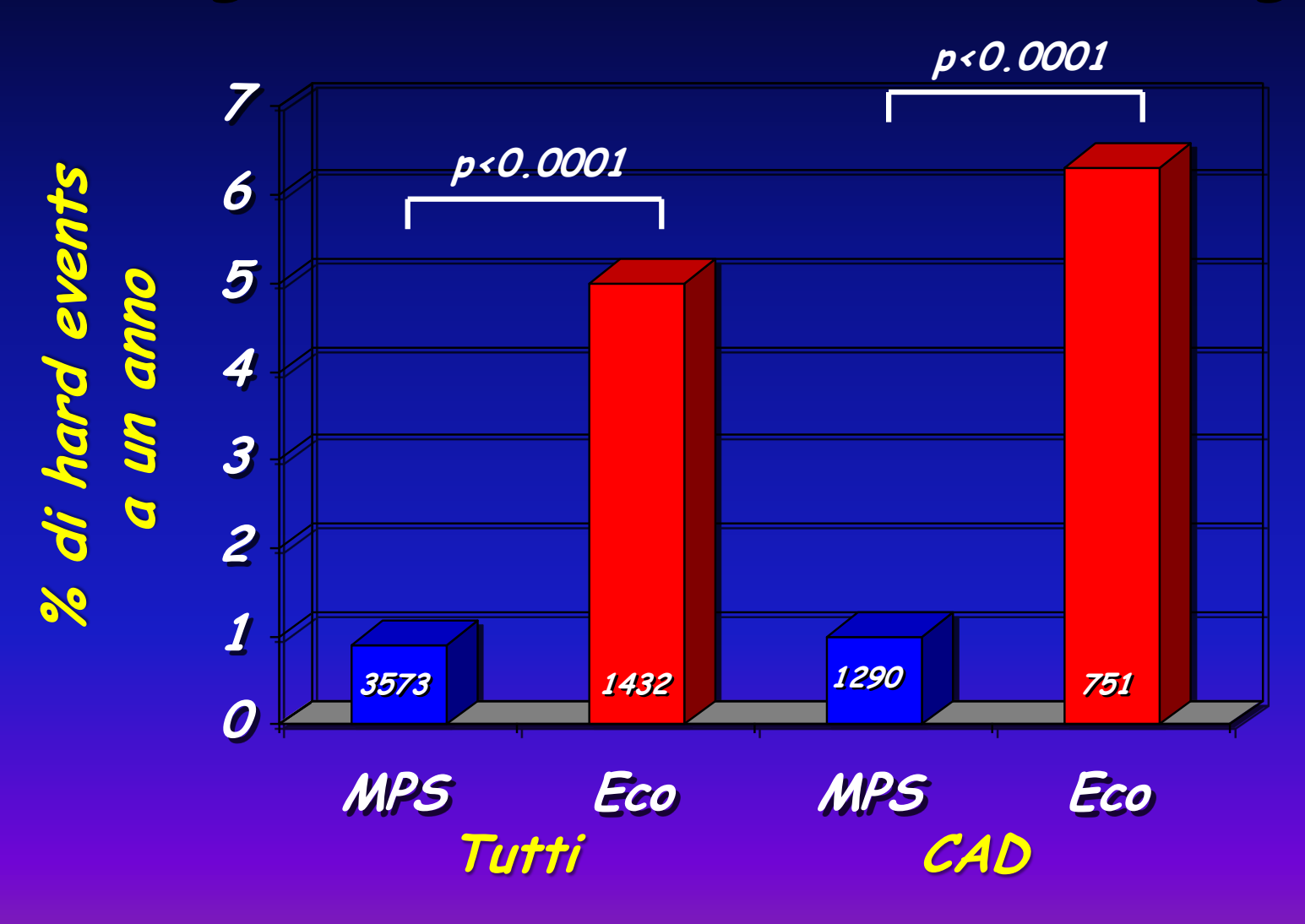
SPECT miocardica con 99mTc-sestamibi



SPECT miocardica con 99mTc-sestamibi



"Mortality rate" con imaging normale: scintigrafia miocardica vs ecocardiografia

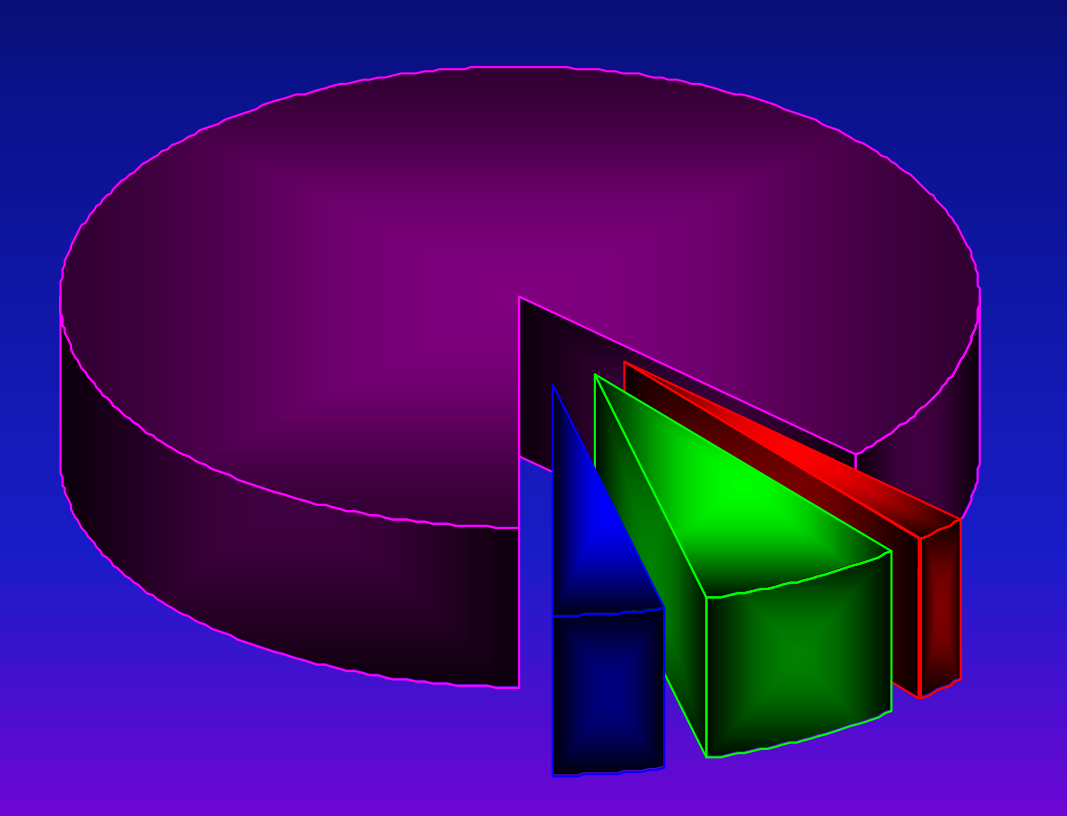


Brown et al. Am J Cardiol 1998;81:1050-3

- A) Diagnosi di malattia coronarica in pazienti selezionati:
 - probabilità pre-test intermedia;
 - pazienti a rischio "relativo";
 - DD dolore toracico in PS.
- B) Contributo alla stratificazione prognostica in pazienti con pregresso infarto (ricerca di ischemia residua).
- C) Valutazione pre e post rivascolarizzazione
 - -a) PTCA (angioplastica coronarica);
 - -b) CABG (by-pass coronarici);
 - -c) trombolisi (???).
- D) Valutazione (integrata con la coronarografia) di pazienti con malattia coronarica già accertata.
- E) Valutazione di efficacia della terapia coronaroattiva.

La PET in Cardiologia Nucleare

Applicazioni cliniche



- Oncologia
- Cardiologia
- Neurologia
- Infettivologia

Principali applicazioni dei traccianti PET in campo cardiologico

- Studio della perfusione (ovvero come arriva il sangue al miocardio):
 - 82 Rb (Rubidio 82)
 - ¹³N-NH₃ (ammonia marcata con azoto 13)
 - 150-H₂O (acqua marcata con ossigeno 15)
- Studio del metabolismo (ovvero come si nutre il miocardio):
 - ¹⁸F-FDG (desossiglucosio marcato con fluoro 18)
 - 11C-palmitato (AG marcati con carbonio 11)

Flusso ematico miocardico e riserva coronarica

- La SPECTION tracini i allegistice di fotone singolo consente la la consente la la consente la la consente la conse
- Tuttavia, per limito in Cich llegate allo strumento di cileva per limito in Cichi llegate allo strumento di Cileva per limito in Cichi llegate allo strumento di Cileva per limito in Cichi llegate allo strumento di Cichi ll
- I sistemical, constituta la correzione per l'attività e lo scatter, permettono la qua tivicazione del flusso miocardico in ml/min/g di tessuto.



82Rb-cloruro

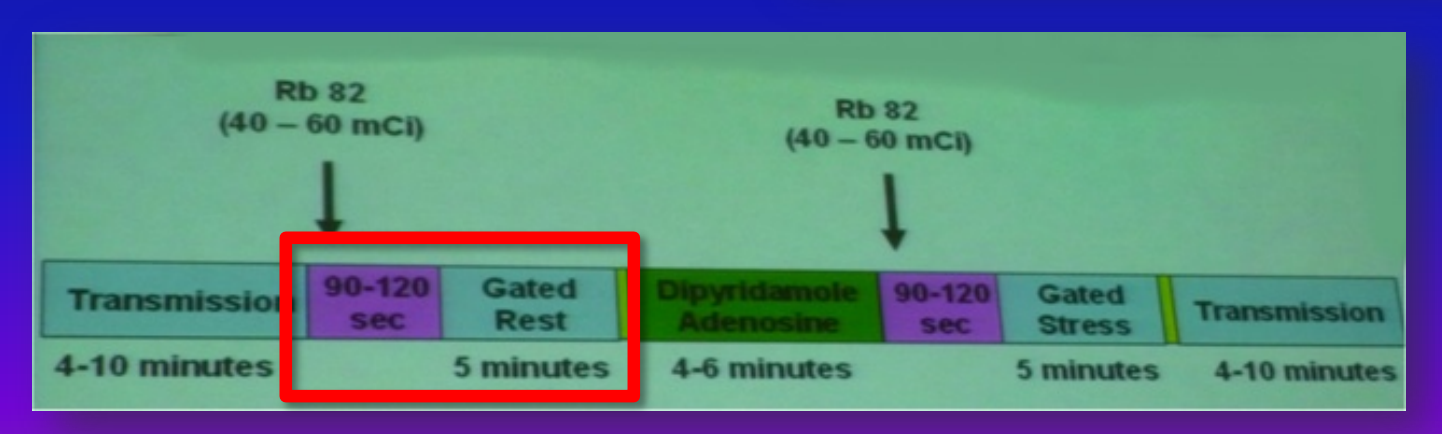


- Prodotto da generatore (82 Sr/82 Rb), ha un tempo di dimezzamento pari a 75".
- E' possibile eseguire misure ripetute nell'arco di breve tempo.
- · Principali svantaggi sono rappresentati da:
 - elevata energia dei positroni (3.3MeV);
 - relativamente bassa frazione di estrazione (65%);
 - "temporalmente" poco maneggevole.

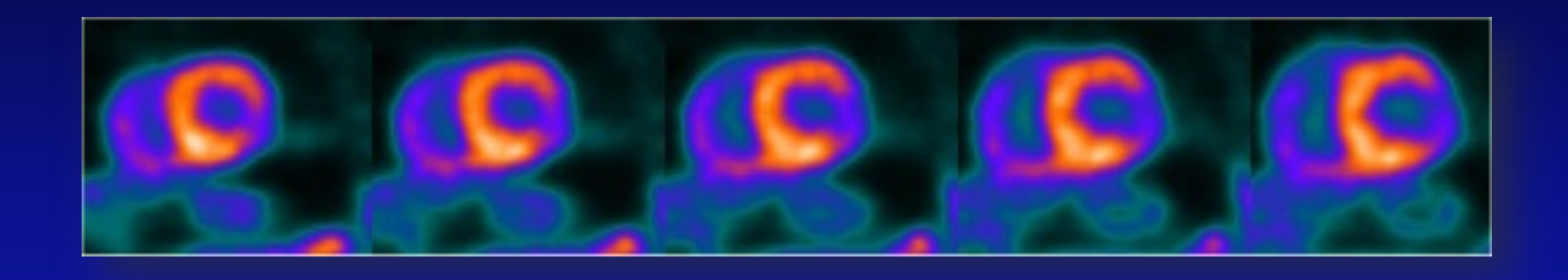
Nuovi traccianti: rubidio-82

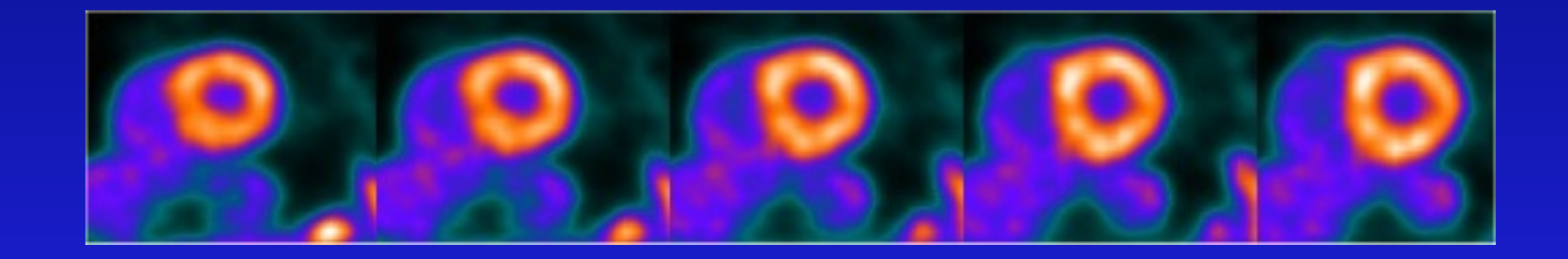


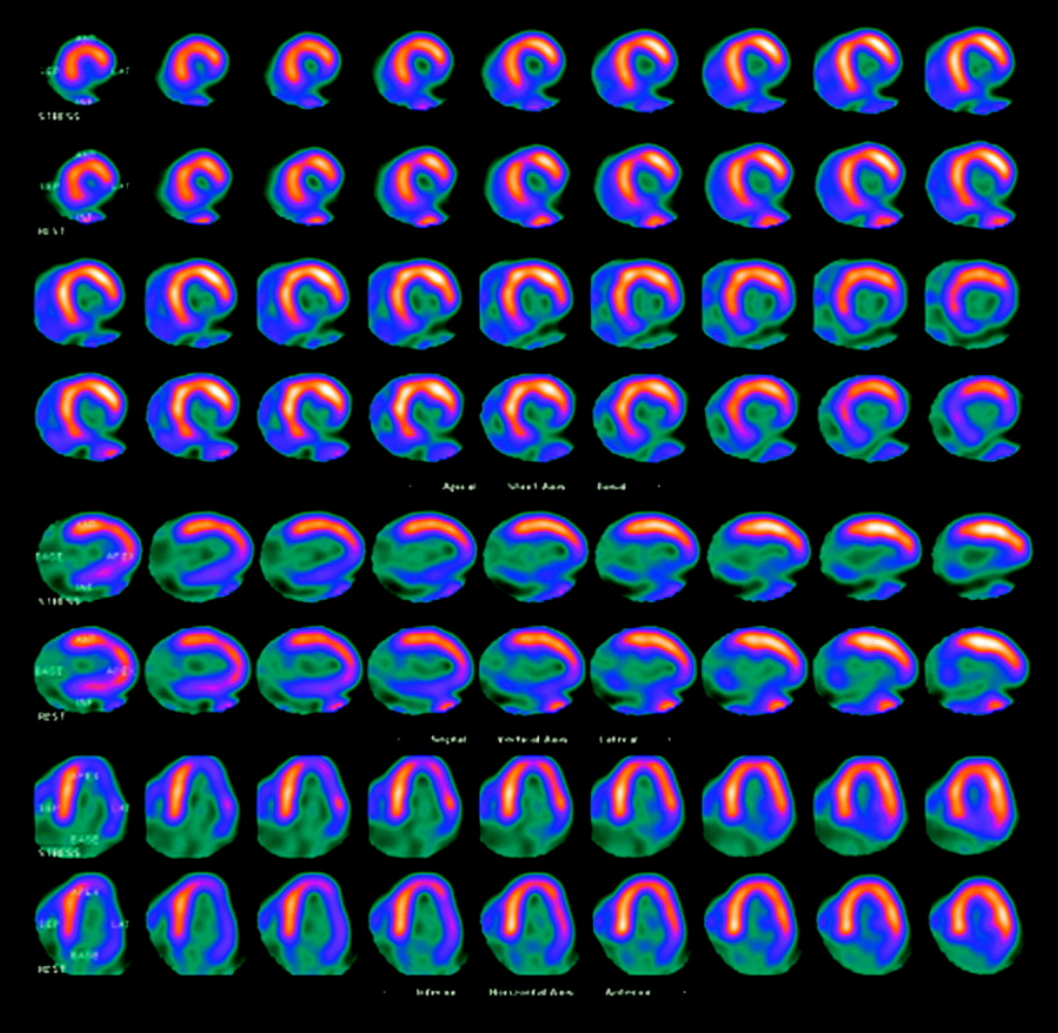




Nuovi traccianti: rubidio-82



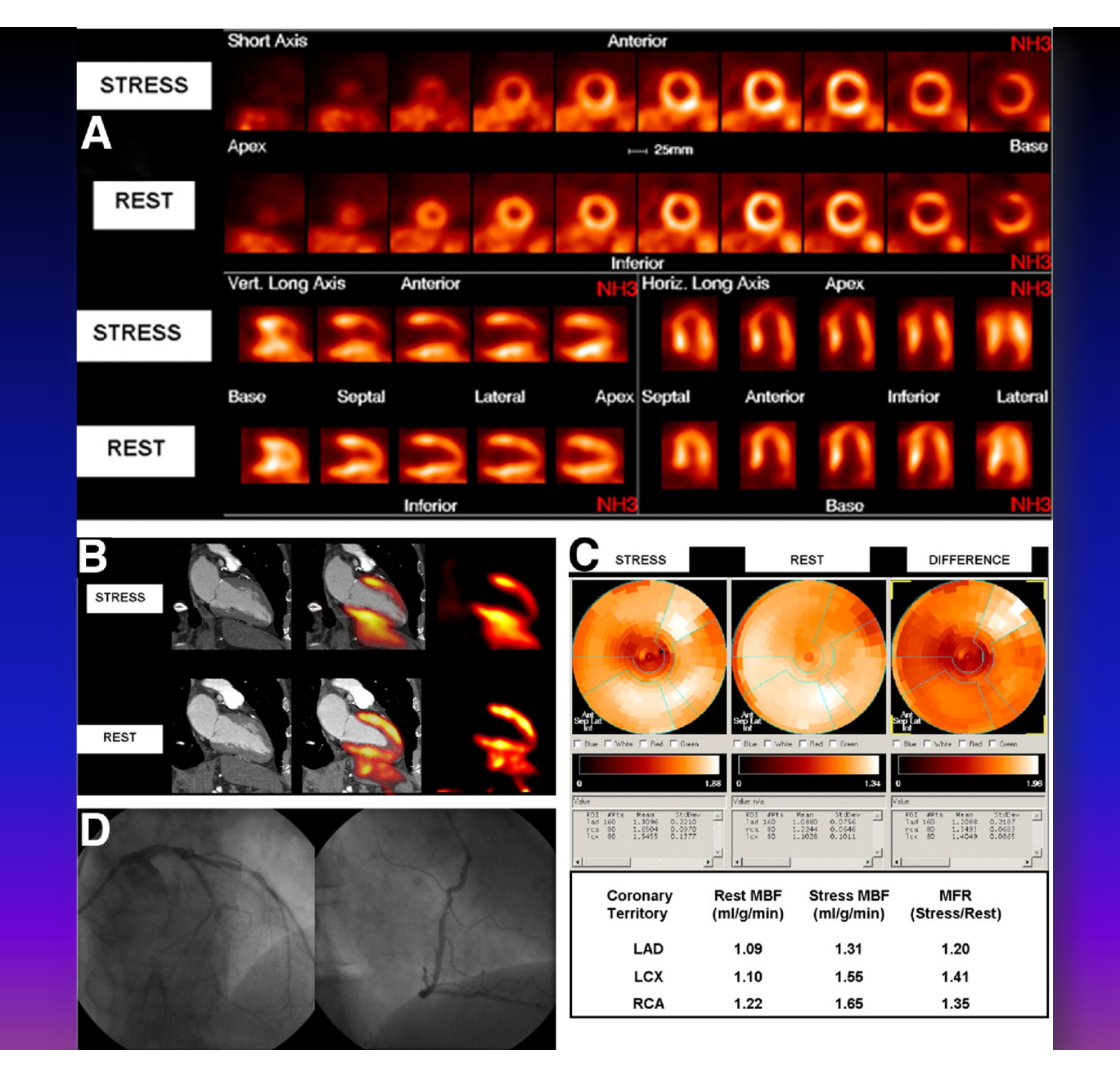


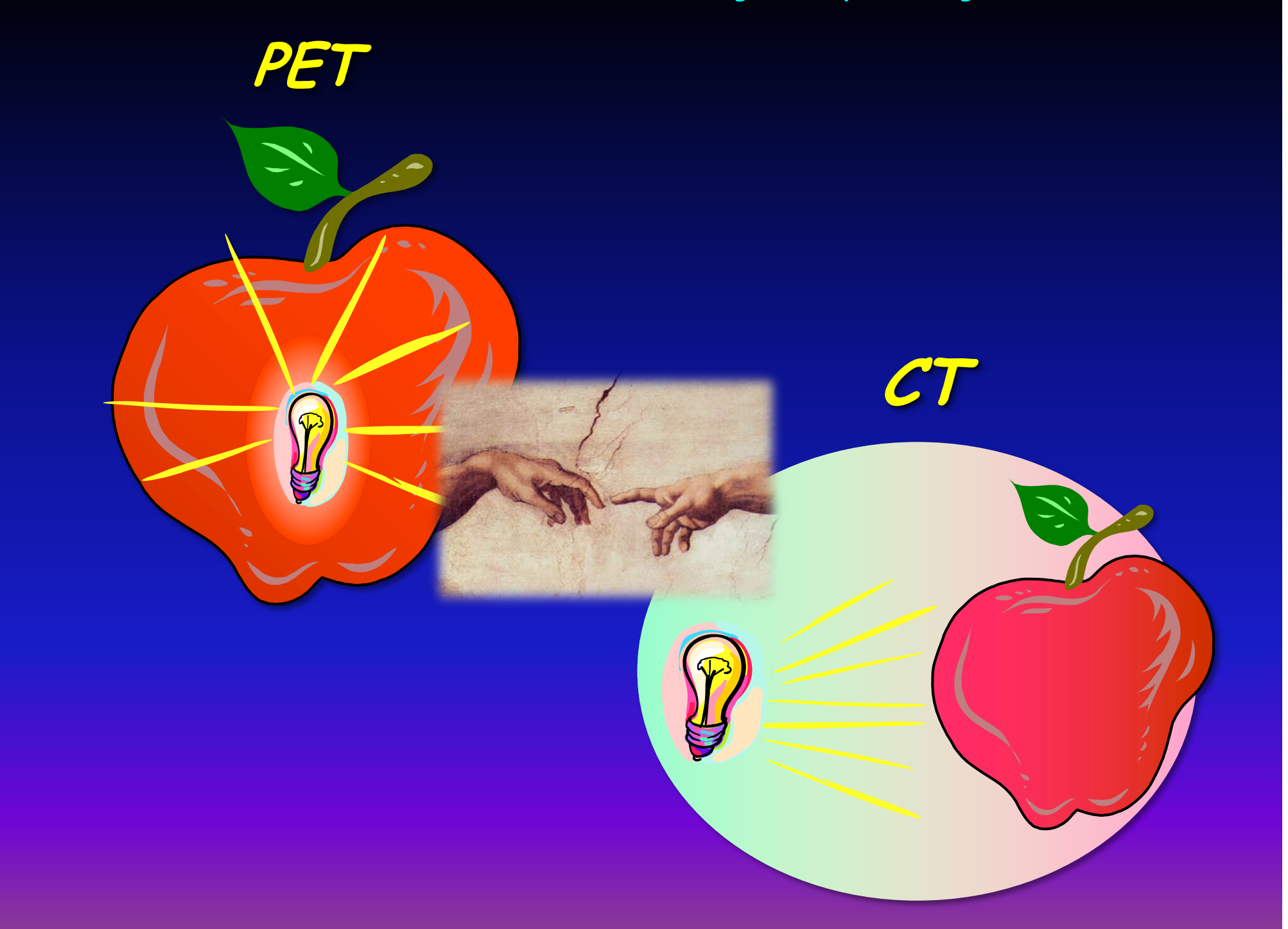


Coronary territory	Rest MBF (mL/min/g)	Stress MBF (mL/min/g)	CFR (stress/rest)
LAD	0.86	0.89	1.07
LCX	0.64	0.66	1.03
RCA	0.86	1.00	1.16

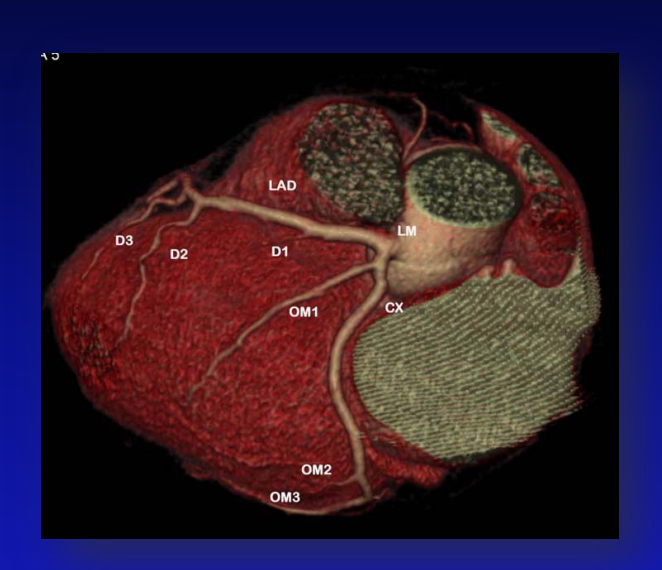
¹³N-ammonia

- · Prodotto da ciclotrone, con T1/2 di 10'.
- · Ha una rapida clearance plasmatica.
- Si fissa nel miocardio in virtù di una sua incorporazione metabolica nella ¹³N-glutamina.
- · La sua frazione di estrazione è elevata per bassi e medi flussi (80%), mentre si riduce ad alti flussi (49% a 5x).
- Facendo uso di opportuni modelli di correzione è possibile effettuare una quantificazione assoluta del flusso coronarico.



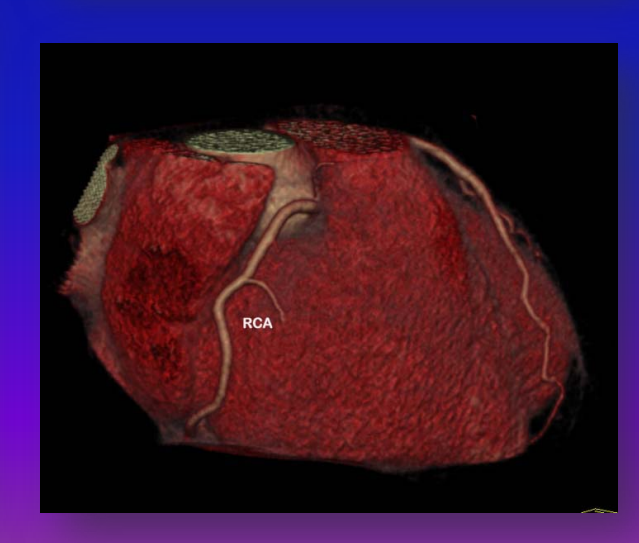


Se MSCT 2 64 slices...



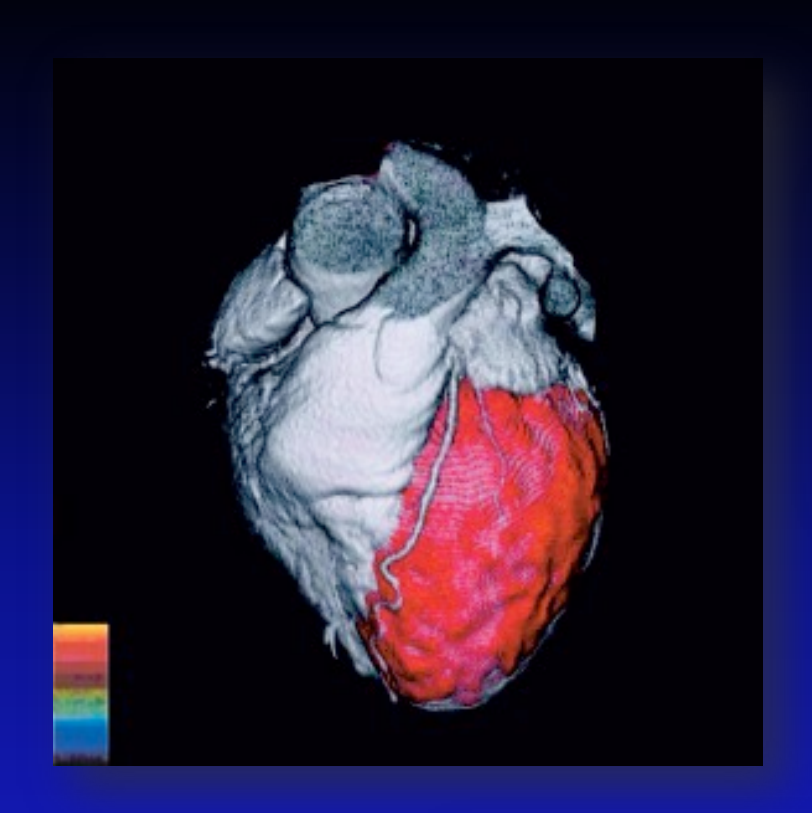








Diagnostica per Immagini - Medicina Nucleare

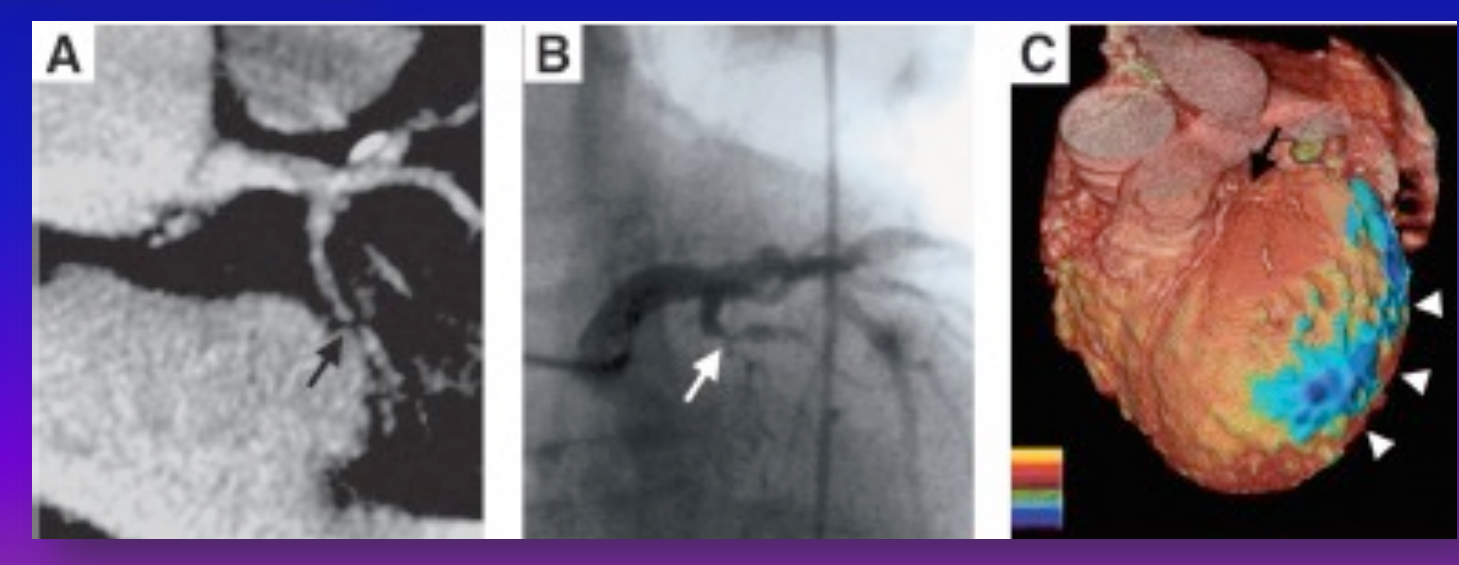


Integrated PET/CT for the Assessment of Coronary Artery Disease: A Feasibility Study

Mehdi Namdar, MD¹; Thomas F. Hany, MD²; Pascal Koepfli, MD¹; Patrick T. Siegrist, MD¹; Cyrill Burger, PhD²; Christophe A. Wyss, MD¹; Thomas F. Luscher, MD¹; Gustav K. von Schulthess, MD, PhD²; and Philipp A. Kaufmann, MD¹

¹Nuclear Cardiology Section, Division of Cardiology, University Hospital, Zurich, Switzerland: and ¹Division of Nuclear Medicine, University Hospital, Zurich, Switzerland

J Nucl Med 2005; 46:930-935



Integrated PET/CT for cardiac imaging

M. F. DI CARLI, S. DORBALA

Q J NUCL MED MOL IMAGING 2006;50:44-52

